

IDENTIFICAÇÃO FOTOMÉTRICA DE SUPERNOVAS ATRAVÉS DE ALGORITMOS DE MACHINE LEARNING

Felipe Matheus Fernandes de Oliveira

Projeto de Graduação apresentado ao Curso de Engenharia de Controle e Automação da Escola Politécnica, Universidade Federal do Rio de Janeiro, como parte dos requisitos necessários à obtenção do título de Engenheiro.

Orientadores: Amit Bhaya

Ribamar Rondon de Rezende

dos Reis

Rio de Janeiro Julho de 2019

IDENTIFICAÇÃO FOTOMÉTRICA DE SUPERNOVAS ATRAVÉS DE ALGORITMOS DE MACHINE LEARNING

Felipe Matheus Fernandes de Oliveira

PROJETO DE GRADUAÇÃO SUBMETIDO AO CORPO DOCENTE DO CURSO DE ENGENHARIA DE CONTROLE E AUTOMAÇÃO DA ESCOLA POLITÉCNICA DA UNIVERSIDADE FEDERAL DO RIO DE JANEIRO COMO PARTE DOS REQUISITOS NECESSÁRIOS PARA A OBTENÇÃO DO GRAU DE ENGENHEIRO DE AUTOMAÇÃO.

Examinado por:	
	Prof. Amit Bhaya, D.Sc.
	Prof. Ribamar Rondon de Rezende dos Reis, Ph.D.
	Prof. Heraldo Luís Silveira de Almeida, D.Sc.
	Prof. Nome do Segundo Examinador Sobrenome, D.Sc.

Fernandes de Oliveira, Felipe Matheus

IDENTIFICAÇÃO FOTOMÉTRICA DE SUPERNOVAS ATRAVÉS DE ALGORITMOS DE MACHINE LEARNING/Felipe Matheus Fernandes de Oliveira. – Rio de Janeiro: UFRJ/ Escola Politécnica, 2019.

XIII, 23 p.: il.; 29,7cm. Orientadores: Amit Bhaya

Ribamar Rondon de Rezende dos Reis Projeto de Graduação — UFRJ/ Escola Politécnica/ Curso de Engenharia de Controle e Automação, 2019.

Referências Bibliográficas: p. 22 – 22.

Machine Learning.
 Gaussian Process Fitting.
 Supernova Photometric Identification.
 Bhaya,
 Amit et al. II. Universidade Federal do Rio de Janeiro,
 Escola Politécnica, Curso de Engenharia de Controle e
 Automação. III. Título.

A alguém cujo valor é digno desta dedicatória. A você Goku

Agradecimentos

Gostaria de agradecer a todos os Sayajins por terem nos salvado das garras maléficas de Freeza, Cell e Majin Boo.

Resumo do Projeto de Graduação apresentado à Escola Politécnica/ UFRJ como parte dos requisitos necessários para a obtenção do grau de Engenheiro de

Automação.

IDENTIFICAÇÃO FOTOMÉTRICA DE SUPERNOVAS ATRAVÉS DE

ALGORITMOS DE MACHINE LEARNING

Felipe Matheus Fernandes de Oliveira

Julho/2019

Orientadores: Amit Bhaya

Ribamar Rondon de Rezende dos Reis

Curso: Engenharia de Controle e Automação

Com a finalidade de estudar a expansão do universo, a cosmologia busca clasificar

diferentes tipos de objetos astronômicos. Entretanto, com o crescente aumento do

número de objetos detectados, o método normalmente usado para a classificação (espetroscopia) torna-se muito custoso. Como consequência, utiliza-se um método

com baixo custo (fotometria) embasado em algoritmos de aprendizado de máquina

para a classificação desse vasto número de dados. Nesse contexto, o presente trabalho

estuda otimizações para a melhoria desses algoritmos de aprendizado de máquina.

vi

Abstract of Undergraduate Project presented to POLI/UFRJ as a partial fulfillment of the requirements for the degree of Engineer.

SUPERNOVA PHOTOMETRIC IDENTIFICATION USING MACHINE LEARNING ALGORYTHMS

Felipe Matheus Fernandes de Oliveira

July/2019

Advisors: Amit Bhaya

Ribamar Rondon de Rezende dos Reis

Course: Automation and Control Engineering

To explore the expansion history of the universe, cosmology classifies different types of astronomic objects using spectroscopy. With their sample sizes increasing, spectroscopy methods cannot handle this amount of data. As a solution to this issue, photometric identification is crucial to fully exploit these large samples due to its simplicity. Once photometric identification uses machine learning algorithms, the following work tries to optimize those algorithms.

Sumário

Li	sta d	e Figuras	X
Li	sta d	e Tabelas	xi
Li	sta d	e Símbolos	xi xiii tualização 1 tualização 1 2 2 30 Gaussiano Gaussian Process 3 izagem Profunda 4 ento de Outliers 4 6 6 ricos 8 siano Gaussian Process 8 onvolucional 8 tos 8 de Componentes Principais 8 rmadas de Wavelet 8 ão Cruzada 8
Li	sta d	e Abreviaturas	xiii
1	Intr	odução	1
	1.1	Tema e Contextualização	1
	1.2	Problemática	2
	1.3	Delimitação	2
	1.4	Objetivos	3
		1.4.1 Processo Gaussiano Gaussian Process	3
		1.4.2 Aprendizagem Profunda	4
		1.4.3 Tratamento de <i>Outliers</i>	4
	1.5	Metodologia	6
	1.6	Descrição	6
2	Fun	lamentos Teóricos	8
	2.1	Processo Gaussiano Gaussian Process	8
	2.2	Rede Neural Convolucional	8
	2.3	Demais Conceitos	8
		2.3.1 Análise de Componentes Principais	8
		2.3.2 Transformadas de $Wavelet$	8
		2.3.3 Validação Cruzada	8
3	Mo	elo Atual	9
	3.1	Pré-processamento dos Dados Brutos	9
	3.2	Pipeline Atual	9

4	Tra	tamento de <i>Outliers</i>	11
	4.1	Estratégias Utilizadas	11
	4.2	Resultados e comparações	11
5	Red	le Neural Convolucional	12
	5.1	Geração de Imagens e Parâmetros	12
	5.2	Escolhas de Redes Neurais	12
	5.3	Resultados e comparações	12
6	Inte	erpolação através de Processo Gaussiano	13
	6.1	Escolha da Biblioteca	13
	6.2	Aleatoriedades e Random Seeds	13
	6.3	Kernel Functions	13
	6.4	Demais Observações	13
	6.5	Resultados das Interpolações	13
	6.6	Identificação e Justificativa do Erro	13
7	Res	ultados e Discussões	14
8	Con	nclusões	15
	8.1	Conclusões Finais	15
	8.2	Trabalhos Futuros	15
9	Intr	odução	16
10	Rev	risão Bibliográfica	18
11	Mét	todo Proposto	19
12	Res	ultados e Discussões	20
13	Con	nclusões	21
$R\epsilon$	eferê	ncias Bibliográficas	22
Δ	Δlσ	umas Demonstrações	23

Lista de Figuras

1.1	Exemplo da interpolação não condizente com a realidade, devido a	
	ser uma linha reta ao invés de uma curva.	3
1.2	Exemplo de $outlier$. Gráfico Fluxo × Tempo (dias)	5
1.3	Exemplo de ponto com incerteza 3 vezes maior que o pico da curva.	
	Gráfico Fluxo × Tempo (dias)	5
3.1	Arquivo $.txt$ a ser lido pelos arquivos de pré-processamento	10
9.1	Logotipo da POLI-UFRJ	17
9.2	Logotipo da COPPE	17

Lista de Tabelas

9.1	Siglas dos cursos de engenharia da Escola Politécnica da UFRJ	16
9.2	Siglas dos programas de pós graduação da COPPE	17
10.1	Exemplos de citações utilizando o comando padrão \cite do LATEX	
	e o comando \citet, fornecido pelo pacote natbib	18

Lista de Símbolos

- \emptyset Conjunto vazio, p. 1

Lista de Abreviaturas

COPPE Instituto Alberto Luiz Coimbra de Pós-graduação e Pesquisa

de Engenharia, p. 1

POLI-UFRJ Escola Politécnica da Universidade Federal do Rio de Janeiro,

p. 1

Introdução

1.1 Tema e Contextualização

Dentro da cosmologia, existe a necessidade de determinar distâncias luminosas ?? para modelar seus estudos, e como ferramenta dessa tarefa, utilizam-se as curvas de luz provenientes de supernovas do tipo IA.

No passado, o conjunto de dados de supernovas era pequeno o suficiente para poder analisar a maior parte dos objetos usando o método da espectroscopia, um método lento e custoso que, no entanto, confirma precisamente o tipo de cada uma delas.

Contudo, com o avanço das pesquisas e da tecnologia de telescópios, a astronomia está entrando em uma era de conjuntos massivos de dados, tornando-se necessário a adoção de técnicas automatizadas mais simples e práticas para classificar a enorme quantidade de objetos astronômicos captados, pois, através da espectroscopia não seria possível.

Nesse contexto, foram desenvolvidas diferentes abordagens para levantar essa grande quantidade de objetos captados através de um método chamado fotometria. Dentre essas abordagens, várias utilizam aprendizado de máquina.

Por fim, a ideia do projeto foi derivada de um artigo publicado pela cientista LOCHNER [1]. A autora busca criar uma maneira automática de classificação fotométrica usando as curvas de luz obtidas através da fotometria, essas que já foram devidamente classificadas no passado utilizando espectroscopia. Caracterizando assim um problema de classificação, visto que temos os tipos de supernovas dados pela espectroscopia, e suas representações fotométricas para que possamos criar e treinar modelos.

1.2 Problemática

Tendo em vista que o artigo [1] testou e validou diversos *pipelines*, neste trabalho adotamos aquele que ela obteve o melhor resultado de classificação, e a partir desse ponto, aplicamos modificações e avaliamos quaisquer possíveis melhoras.

O pipeline escolhido é constituído majoritariamente de 4 partes:

- Processo Gaussiano (Gaussian Process ou GP)
- Transformada de Wavelet
- Análise de componentes principais (Principal Component Analysis ou PCA)
- Floresta Aleatória (Random Forest ou **RF**)

A problemática encontra-se no método de interpolação chamado **Processo Gaussiano**. Por ser um método de interpolação, espera-se que o mesmo defina uma função que passe pelos pontos obtidos respeitando suas incertezas. Entretanto, em alguns casos o gráfico interpolado é uma constante 1.1. O que não possui sentido físico, visto que se trata do fluxo de luz após uma explosão de um objeto astronômico.

Através do Instituto de Física da UFRJ surgiu a ideia principal deste projeto que é a de tentar corrigir essas interpolações que apresentam comportamento constante durante toda a observação.

Em paralelo, outras ideias foram aplicadas na tentativa de obter uma melhora no algoritmo original da *Lochner*.

1.3 Delimitação

Todos os dados utilizados tanto neste trabalho quanto no artigo [1], foram extraídos da base de dados oferecida pelo desafio KESSLER [2]. A base de dados é de domínio público e pode ser obtida no LINK DO DOWNLOAD.

Devido a granularidade dos dados brutos, é necessário um pré-tratamento visando buscar apenas os dados que iremos utilizar. Esse pré-tratamento foi aproveitado do *pipeline* do Instituto de Física da UFRJ (**IF-UFRJ**), cujo processo visa ler os arquivos de texto transformando cada informação em uma chave de dicionário.

Ao fim do uso da seleção de dados citada acima, obtivemos valores em forma de dicionários em Python para cada objeto astronômico. Esses dicionários serão os **Dados Brutos** no escopo deste trabalho.

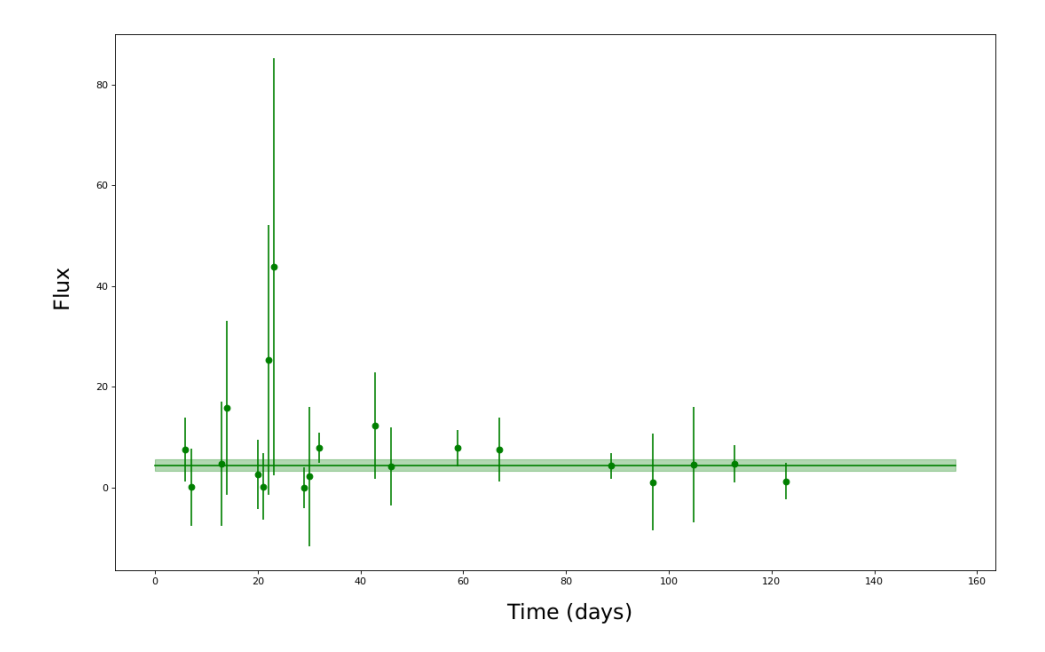


Figura 1.1: Exemplo da interpolação não condizente com a realidade, devido a ser uma linha reta ao invés de uma curva.

1.4 Objetivos

O objetivo do trabalho é otimizar determinados pontos do *pipeline* utilizado atualmente, após um estudo inicial ter sido feito para identificar pontos frágeis ou passíveis de melhoras.

Esses pontos são apresentados e justificados a seguir, criando as três vertentes do trabalho

- Processo Gaussiano
- Aprendizagem Profunda
- Tratamento de Outliers

1.4.1 Processo Gaussiano Gaussian Process

O Processo Gaussiano, é a primeira parte do tratamento de dados após a transformação dos dados brutos em dicionários de Python. Iremos abordar esse procedimento no Capítulo 6.

Cada objeto astronômico irá possuir uma quantidade de pontos que representam a intensidade do fluxo de luz captado em determinado dia, bem como a incerteza desse valor. Assim, buscamos fazer uma interpolação para obter um gráfico que passe por determinados pontos.

O objetivo ao abordar esse ponto é consertar interpolações que não condizem com a interpretação física, como pode ser vista na figura 1.1.

1.4.2 Aprendizagem Profunda

A Aprendizagem Profunda (*Deep Learning* ou **DL**) vêm sendo um advento utilizado recentemente para aprimorar alguns algoritmos de Aprendizagem de Máquina (*Machine Learning* ou **ML**).

A ideia de aplicar DL nesse problema veio a partir da análise do *pipeline* inicial (visto na seção 1.2). Tendo em vista que o mesmo possui diversas partes entre os dados brutos e algoritmo de RF, buscamos aplicar DL esperando obter um *pipeline* mais simples, possuindo apenas uma etapa entre os dados brutos e o algoritmo de classificação.

Em diversos outros casos na literatura, como identificação de sons ou imagens, houveram melhorias significativas ao reduzir o número de etapas envolvendo processamento de sinais (wavelets) ou redução de componentes (PCA) em troca do uso de DL.

A segunda motivação para a aplicação de DL veio do artigo da LOCHNER [1], onde ela menciona possíveis aplicações no escopo do problema.

Assim, foi decidido aplicar algoritmos de DL após a primeira parte do tratamento de dados, visando manter uma simplicidade ao longo do *pipeline*. Estabelecendo assim, apenas a etapa do GP entre os dados brutos e o algoritmo de classificação. O detalhamento desse procedimento encontra-se no Capítulo 5.

1.4.3 Tratamento de Outliers

O último objetivo para buscar melhorias no algoritmo é o tratamento de pontos cuja incerteza é muito alta ou cujos valores são fora do esperado, pontos com essas características são conhecidos na literatura como *outliers*.

Analisando alguns dados brutos, observamos pontos cuja incerteza mostra-se mais de 100% maior do que a própria curva (ponto mais a esquerda da figura 1.3) e também pontos que encontram-se completamente fora da curva interpolada 1.2.

As etapas do tratamento encontram-se descritas no Capítulo 4.

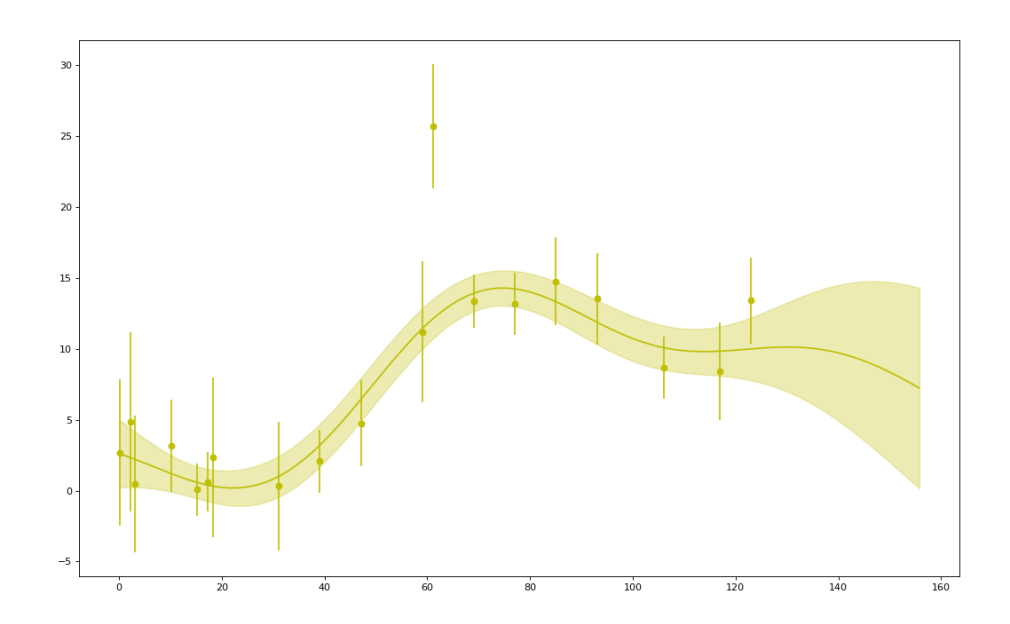


Figura 1.2: Exemplo de outlier. Gráfico Fluxo \times Tempo (dias).

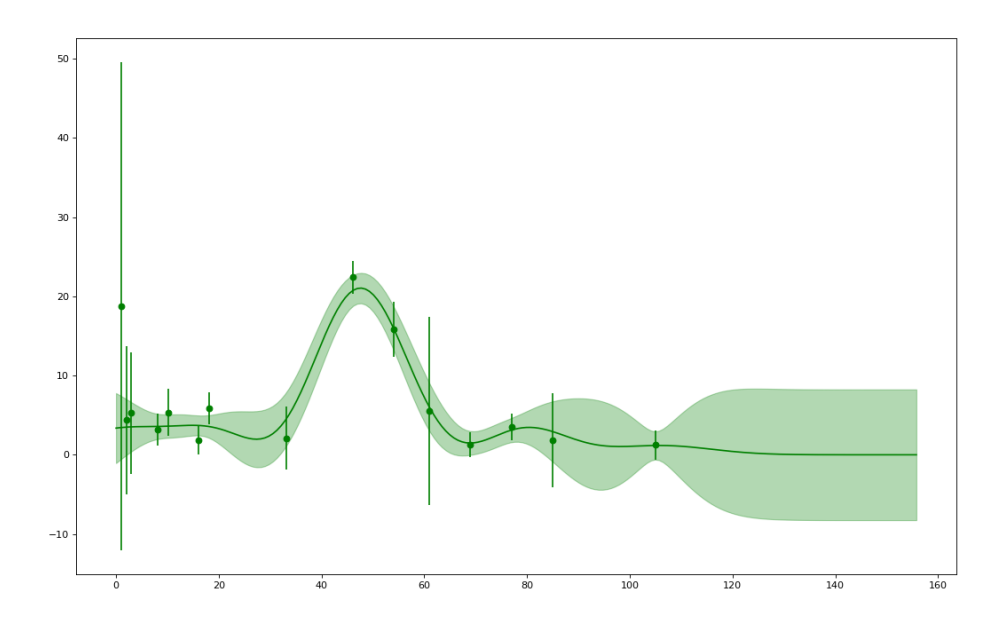


Figura 1.3: Exemplo de ponto com incerteza 3 vezes maior que o pico da curva. Gráfico Fluxo \times Tempo (dias).

1.5 Metodologia

Devido ao código de pré-processamento do IF-UFRJ estar escrito em Python, todo o trabalho também foi escrito na mesma linguagem. Outro ponto para a escolha da linguagem foi a facilidade que a mesma possui para realizar experimentos através da plataforma *Jupyter*, além da grande quantidade de bibliotecas de ciências de dados e suporte para desenvolver algoritmos de ML.

As principais bibliotecas utilizadas no contexto de tratamento de dados foram *Pandas* e *Numpy*. Já para a aplicação dos métodos as bibliotecas mais importantes foram *scikit-learn*, *Keras* e *PyMC3*.

A entrada dos modelos sempre serão os dicionários gerados a partir dos dados brutos após o pré-processamento do IF-UFRJ. Assim, pôde-se filtrar com maior facilidade as propriedades desejadas para cada uma das três vertentes do trabalho.

Cada uma dessas vertentes possuiu um trabalho específico e isolado para poder melhor averiguar suas mudanças posteriormente. Em outras palavras, a cada mudança realizada houve a comparação direta com os resultados do *pipeline* original, para poder avaliar especificamente a eficiência e melhora dessa mudança.

Por se tratar de um algoritmo de classificação, a saída do nosso modelo será booleana e classificará se um objeto astronômico é ou não do tipo IA. Entretanto, nos dados brutos, as classes são divididas em 8 tipos de objetos: IA, IB, IBC, IC, II, IIL, IIN e IIP.

É importante ressaltar também que para validar os modelos do projeto, foi usado o método K-fold. Todavia, este trabalho se diferenciou da divisão clássica presente na literatura, que é uma divisão de 80% dos dados para treinamento e 20% para o teste dos modelos. Neste trabalho foram utilizados apenas 1100 objetos para treino dentre 21316 objetos totais. A justificativa é a limitação física das amostras.

Por fim, as mudanças foram verificadas através de **Matrizes de Confusão** (Confusion Matrices ou **CM**) ou através de métodos de score da biblioteca scikit-learn.

Como última observação, a fim de estudos posteriores fora do escopo do projeto, todo o código desenvolvido encontra-se disponível em um repositório público do *GitHub*. E nele foram feitas classificações envolvendo os 8 tipos de objetos, além de treinamentos adotando a proporção de 80% para treino e 20% para teste.

1.6 Descrição

No Capítulo 2, iremos explicar os principais conceitos teóricos utilizados na aplicação do **Processo Gaussiano** e no *Deep Learning*. Também serão levantados alguns conceitos não tão centrais do trabalho, mas de importância igualmente significativa.

O Capítulo 3, será destinado para detalhar especificamente cada etapa do *pipeline* atual, assim como uma breve menção a maneira na qual os dados brutos são tratados.

Os capítulos 4, 5 e 6 serão destinados à explicação dos objetivos citados na seção 1.4, assim como os resultados das mudanças que os mesmos causaram, buscando averiguar a eficiência de aplicação ou explicar possíveis erros.

No Capítulo 7 serão apresentados os resultados como um todo, seguidos de análises dos métodos através uma perspectiva global do projeto, diferentemente de como será nos capítulos anteriores, nos quais teremos uma visão específica para cada objetivo.

Por fim, no Capítulo 8 tiraremos as conclusões finais do projeto e serão apresentadas sugestões de trabalhos futuros junto as limitações e possíveis soluções encontradas.

Fundamentos Teóricos

- 2.1 Processo Gaussiano Gaussian Process
- 2.2 Rede Neural Convolucional
- 2.3 Demais Conceitos

Conceitos menos usados ao longo do pipeline, estão brevemente explicados a seguir.

- 2.3.1 Análise de Componentes Principais
- 2.3.2 Transformadas de Wavelet
- 2.3.3 Validação Cruzada

Modelo Atual

Neste capítulo iremos detalhar o modelo atual utilizado para estudos cosmológicos do IF-UFRJ.

3.1 Pré-processamento dos Dados Brutos

Inicialmente os dados brutos chegam da seguinte forma para o pré-processamento.

Através dos arquivos de pré-tratamento iremos obter todas essas informações em forma de dicionário, entretanto apenas as seguintes serão utilizadas durante o projeto.

- SN TYPE : Informa o tipo de supernova
- TERSE LIGHT CURVE OUTPUT : Informa os pontos de observações obtidos. Será nosso *Data Frame*.
 - MJD : O momento em que a observação foi obtida. A medida está descrita em dias do calendário Juliano, em seguida ela será convertida para dias tomando como 0 o menor valor do MJD.
 - FLT : O filtro em que a observação foi obtida, pois cada observação é obtida a partir de um determinado espectro de luz.
 - FLUXCAL: O valor do fluxo de luz obtido naquela observação.
 - FLUXCALERR: O valor do erro do fluxo de luz obtido naquela observação.

Sobre os filtros...

3.2 Pipeline Atual

```
FAKE: 2 (=> simulated LC with snlc_sim.exe)
MWEBV: 0.0111 MW E(B-V)
REDSHIFT_HELIO: 0.35020 +- 0.04680 (Helio, z_best)
REDSHIFT_FINAL: 0.35020 +- 0.04680 (CMB)
REDSHIFT_SPEC: -9.000000 +- 9.000000
REDSHIFT_STATUS: OK
  HOST_GALAXY_GALID: 18943
HOST_GALAXY_PHOTO-Z: 0.3502 +- 0.0468
SIM_MODEL: NONIA 10 (name index)
SIM_NONIa: 31 (non1a index)
SIM_COMMENT: SN Type = II , MODEL = SDSS-017862
SIM_LIBID: 4
SIM_REDSHIFT: 0.3972
SIM_HOSTLIB_TRUEZ: 0.4000 (actual Z of hostlib)
SIM_HOSTLIB_GALID: 18943
SIM_DLMU: 41.666473 mag [ -5*log10(10pc/dL)]
SIM_RA: 0.500000 deg
SIM_DECL: -43.000000 deg
SIM_DECL: -43.000000 deg
SIM_MEBU: 0.0113 (MilkyMay E(B-V))
SIM_PEAKMAG: 26.78 28.54 28.42 26.27 (griz obs)
SIM_EXPOSURE: 1.0 1.0 1.0 (griz obs)
SIM_EXPOSURE: 1.0 1.0 1.0 (griz obs)
SIM_PEAKMJD: 56214.511719 days
SIM_SALTZX0: 2.155e-17
SIM_MAGDIM: 0.000
SIM_SEARCHEFF: 1.0000 (spectro-search efficiency (ignores pipelines))
SIM_SEARCHEFF: 1.0000 (spectro-search efficiency (ignores pipelines))
SIM_TRESTIMIN: -31.11 days
SIM_TRESTIMIN: -31.11 days
SIM_TRESTIMIN: -31.11 days
SIM_RISETIME_SHIFT: 0.0 days
SFARCH PFAKMJD: 56214.434
  SEARCH_PEAKMJD: 56214.434
  # NOBS: 93 NVAR: 9
VARLIST: MJD FLT FIELD FLUXCAL FLUXCALERR 0BS: 56172.039 r NULL 4.410e+00 1.758e+01 0BS: 56172.051 i NULL 6.447e-01 4.995e+01 0BS: 56176.160 z NULL 1.337e+00 3.581e+00 0BS: 56179.033 a NULL 6.122e+00 6.377e+00 6.377e+00
                                                                                                                                                                                                                                                            MAGERR SIM_MAG

5.000 99.055

5.000 98.914

5.000 98.994

100.816 59.034

102.467 60.656
                                                                                                                                                                                                                              MAG
                                                                                                                                                   FLUXCALERR
7.809e+01
1.758e+01
4.995e+01
3.581e+00
6.377e+00
4.331e+00
7.145e+00
8.139e+00
5.671e+00
4.492e+00
                                                                                                                                                                                                                             99.000
99.000
99.000
27.184
25.533
                                                                                                                                                                                              -0.47
0.25
0.01
0.37
                                                                                                                                                                                                                                                                                                   99.055
98.914
98.994
59.034
                                                                Z NULL
g NULL
r NULL
i NULL
z NULL
r NULL
i NULL
i NULL
i NULL
z NULL
z NULL
j NULL
z NULL
j NULL
                         56179.023
56179.031
56179.047
56179.062
56180.031
   OBS:
                                                                                                       6.122e+00
                                                                                                                                                                                                  0.96
                                                                                                                                                                                                                                                                                                    60.656
                                                                                                                                                                                                                        25.533
128.000
24.605
25.640
26.357
27.498
24.902
                                                                                                 -3.697e+00
1.439e+01
5.544e+00
2.865e+00
                                                                                                                                                                                                -0.85
2.01
0.68
0.51
                                                                                                                                                                                                                                                             0.000
0.745
102.359
101.643
                                                                                                                                                                                                                                                                                                    63.358
59.327
54.103
59.296
   OBS:
  OBS:
OBS:
OBS:
  OBS:
                          56180.047
                                                                                                       1.002e+00
                                                                                                                                                     4.492e+00
                                                                                                                                                                                                  0.22
                                                                                                                                                                                                                                                             100.502
                                                                                                                                                                                                                                                                                                    61,984
                                                                                                 1.002e+00
1.095e+01
-1.652e+00
5.279e+00
5.595e-01
                                                                                                                                                                                                                                                            1.038
0.000
102.306
   OBS:
                          56180.062
                                                                                                                                                     6.740e+00
                                                                                                                                                    1.016e+01
5.677e+00
4.368e+00
                                                                                                                                                                                                -0.16
0.93
0.13
                                                                                                                                                                                                                         128.000
25.694
28.130
                          56180.078
56188.004
   OBS:
                          56188.016
56188.027
                                                                                                                                                                                                                                                             99.870
101.995
```

Figura 3.1: Arquivo .txt a ser lido pelos arquivos de pré-processamento.

Tratamento de *Outliers*

- 4.1 Estratégias Utilizadas
- 4.2 Resultados e comparações

Rede Neural Convolucional

A ideia foi blablabla usar deep learning, vimos exemplos das roupas, e colocamos la deixamos a princípio o pipeline do Marcelo

5.1 Geração de Imagens e Parâmetros

Os parâmetros na hora de gerar as imagens e o PQ

5.2 Escolhas de Redes Neurais

escolhemos 2CNN pra fazer por isso e por aquilo

5.3 Resultados e comparações

Interpolação através de Processo Gaussiano

- 6.1 Escolha da Biblioteca
- 6.2 Aleatoriedades e Random Seeds
- 6.3 Kernel Functions
- 6.4 Demais Observações

Valor negativo e Mean function, erro grande, melhor overfittado que underfitado

- 6.5 Resultados das Interpolações
- 6.6 Identificação e Justificativa do Erro

Resultados e Discussões

Conclusões

8.1 Conclusões Finais

Falar que o Algoritmo de hoje já é bem robusto

8.2 Trabalhos Futuros

Falar de consertar o Erro e pah

Introdução

Segundo a norma de formatação de teses e dissertações do Instituto Alberto Luiz Coimbra de Pós-graduação e Pesquisa de Engenharia (COPPE), toda abreviatura deve ser definida antes de utilizada.

Do mesmo modo, é imprescindível definir os símbolos, tal como o conjunto dos números reais \mathbb{R} e o conjunto vazio \emptyset .

Você deve selecionar seu curso de engenharia usando o comando \department{Sigla} e no lugar de Sigla inserir a sigla referente ao seu curso de engenharia. A tabela 9.1 relaciona as siglas dos cursos de engenharia da Escola Politécnica da Universidade Federal do Rio de Janeiro (POLI-UFRJ), enquanto que a tabela 9.2 relaciona as siglas dos programas de pós graduação da COPPE.

Tabela 9.1: Siglas dos cursos de engenharia da Escola Politécnica da UFRJ.

י				
	Sigla	Curso		
	EA	Engenharia Ambiental		
	ECV	Engenharia Civil		
	ECI Engenharia de Computação e Informa			
	ECA Engenharia de Controle e Automação			
EMAT Engenharia de Materiais		Engenharia de Materiais		
EPT Engenharia de Petróleo		Engenharia de Petróleo		
	EPR	Engenharia de Produção		
	EEC Engenharia Eletrônica e de Computa			
	EET Engenharia Elétrica			
	EMC Engenharia Mecânica			
	EMET	EMET Engenharia Metalúrgica		
	ENO Engenharia Naval e Oceânica			
ENU Engenharia Nuclear		Engenharia Nuclear		

Note também que todas as figuras ou tabelas devem ser citadas no texto. Como ocorre com as tabelas 9.1 e 9.2. Para ilustrar o uso de figuras em L^AT_EX, considere as figuras 9.1 e 9.2.

Tabela 9.2: Siglas dos programas de pós graduação da COPPE.

4	2. Digias dos programas de pos graduação de			
Sigla		Curso		
PEB		Engenharia Biomédica		
	PEC	Engenharia Civil		
	PEE	Engenharia Elétrica		
	PEM	Engenharia Mecânica		
	PEMM	Engenharia Metalúrgica e de Materiais		
	PEN	Engenharia Nuclear		
	PENO	Engenharia Oceânica		
	PPE	Planejamento Energético		
	PEP	Engenharia de Produção		
	PEQ	Engenharia Química		
	PESC	Engenharia de Sistemas e Computação		
	PET	Engenharia de Transportes		



Figura 9.1: Logotipo da POLI-UFRJ.



Figura 9.2: Logotipo da COPPE.

Revisão Bibliográfica

Para ilustrar a completa adesão ao estilo de citações e listagem de referências bibliográficas, a Tabela 10.1 apresenta citações de alguns dos trabalhos contidos na norma fornecida pela CPGP da COPPE, utilizando o estilo numérico.

Tabela 10.1: Exemplos de citações utilizando o comando padrão \cite do LATEX e o comando \citet, fornecido pelo pacote natbib.

Tipo da Publicação	\cite	\citet
Livro	[?]	?]
Artigo	[?]	?]
Relatório	[?]	?]
Relatório	[?]	?]
Anais de Congresso	[?]	?]
Séries	[?]	?]
Em Livro	[?]	?]
Dissertação de mestrado	[?]	?]
Tese de doutorado	[?]	?]

É importante notar que, segundo a Norma para a Elaboração Gráfica do Projeto de Graduação da Escola Politécnica da UFRJ para trabalhos de conclusão de curso de engenharia de julho de 2012, as referências bibliográficas podem ser apresentadas de duas formas: (i) Referências numeradas e (ii) Referências em ordem alfabética. Para exibição numerada, em que a exibição das referências bibliográficas segue a ordem de citação usada no texto, use o comando \bibliographystyle{coppe-unsrt}. Para exibição de referências bibliográficas em ordem alfabética, basta usar o comando \bibliographystyle{coppe-plain} ao final do documento.

Método Proposto

Resultados e Discussões

Conclusões

Referências Bibliográficas

- [1] LOCHNER, M. "Photometric Supernova Classification with Machine Learning", ApJS (2016), v. 225, n. 2, pp. 31, set. 2016.
- [2] KESSLER, R. "Supernova Photometric Classification Challenge", arXiv, v. 6, n. 5210, pp. 4, abr. 2010.

Apêndice A

Algumas Demonstrações